

(201) ライム系フランクスによる溶銑脱りん処理末期スラグの酸化鉄の活量

京都大学 大学院 山田統明 秋月弘司
京都大学 工学部 岩瀬正則 一瀬英爾

1. 緒言 脱りん反応は、 $5(Fe_{x}O) + 2P = 5xFe + (P_2O_5)$ を表すことができる。故に、 $Fe_{x}O$ の活量を知ることが脱りん反応を考える上で重要である。著者らは先にフランクス中の $Fe_{x}O$ の活量を短時間で測定できる新しい実験方法を考察した。⁽¹⁾ 本研究では、これをライム系フランクスによる溶銑脱りん処理末期のスラグ中の $Fe_{x}O$ の活量測定に適用しての結果を報告する。

2. 実験方法 実験方法は、先に發表したもののと同様⁽¹⁾。Table. 1 に示すスラグを供試料とし、これを酸化鉄ペレットのみを添加してスラグ組成を変化させ、活量を測定した。供試料は、いずれもライム系フランクスによる溶銑脱りん処理末期のもので、基本的には $CaO-CaF_2-SiO_2$ 系と考えられる。Fig. 1 は CaO + SiO_2 + CaF_2 系における状態図上に、Table. 1 に示すスラグ組成を示した。S1 ~ S4 スラグ⁽¹⁾は、 $3CaO \cdot SiO_2$, $2CaO \cdot SiO_2$, $3CaO \cdot 2SiO_2$ 飽和組成に近く、S5, S6 スラグ⁽¹⁾は、 CaO 飽和域に近い。すべての実験は $1400^{\circ}C$ で行った。

3. 実験結果および考察 Fig. 2 は $a_{Fe_{x}O}$ と $X_{Fe_{x}O}$ の関係を図示した。図中 ↓印は、供試料、即ち、脱りん処理末期のスラグ組成を示す。 $a_{Fe_{x}O}$ は、ラウール則より正確値を示し、S1 ~ S4 スラグ⁽¹⁾は、塩基度*が大きくなるほど活量は低くなる傾向がある。一方、S5, S6 スラグ⁽¹⁾は、S1 よりも塩基度が高いためかむらしく高い活量値を示している。又、Fig. 1 に示すスラグ組成と比較するため、Turkdogan and Pearson⁽²⁾ の値を実線で示した。これら、S1 ~ S4 スラグ⁽¹⁾は、塩基度の増大とともに、 CaF_2 が $Fe_{x}O$ に及ぼす影響が大きくなると考えられる。一方、S5, S6 スラグ⁽¹⁾は、 CaF_2 の影響はほとんどない。Fig. 3 は、塩基度と $a_{Fe_{x}O}$ の関係を示した。塩基度が高くなるにつれて、S1 ~ S4 スラグ⁽¹⁾は、 $a_{Fe_{x}O}$ が減少していくが、 CaO 飽和域に近い S5, S6 スラグ⁽¹⁾は、累積的に増加する。

Fig. 1 Phase diagram of the $CaO + SiO_2 + CaF_2$ system at $1673 K$. The slag compositions are expressed by solid circles.

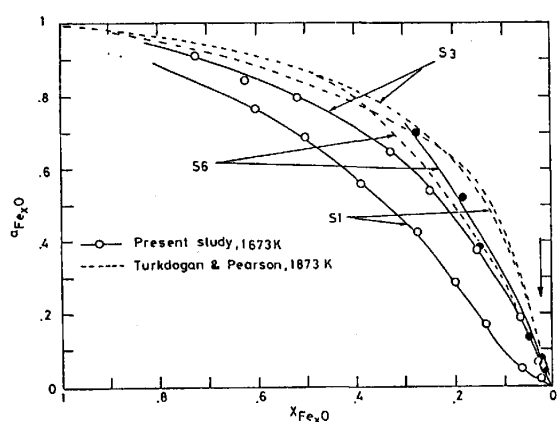
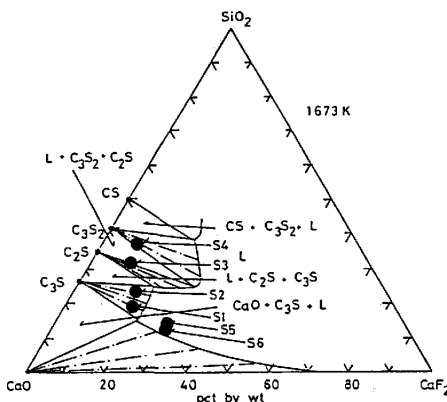


Fig. 2 Activities of $Fe_{x}O$ in the slags at the final stages of external dephosphorization of hot metal at $1673 K$ in comparison with those by Turkdogan and Pearson⁽²⁾

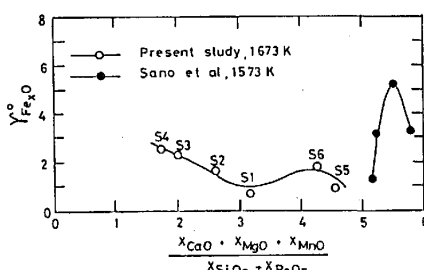


Fig. 3 Activity coefficients of $Fe_{x}O$ in the slags at the final stages of external dephosphorization of hot metal in comparison with the experimental data by Sano et al.⁽³⁾